

AB-BNCT 中子靶物理设计分析

林作康¹, 杨璞^{1,2,*}, 赵乾坤¹, 申淼¹, 何子锋^{1,*}

(1. 中国科学院上海应用物理研究所, 上海 201800; 2. 中国科学院大学, 北京 100049)

摘要: 质子加速器适用于为硼中子俘获治疗提供中子源, 其中子源强及能谱较反应堆中子源更具可调性。中子靶物理计算分析是加速器中子源设计的基础, 为其提供粒子能量、流强等参数需求分析, 并为靶体结构尺寸设计、中子慢化和屏蔽分析等提供前端参数。本文利用 MCNPX 蒙特卡罗程序, 通过对质子打靶的中子产额和能谱、靶体能量沉积、打靶后靶材放射性活度和中子出射空间角分布等进行研究, 提出能量 2.5 MeV 质子轰击 100~200 μm 锂靶的设计, 并用模拟计算数据论证其合理性。该设计中子源在 1 mA 流强质子轰击下, 源强可达 $9.74 \times 10^{11} \text{ s}^{-1}$; 拟设计 15 mA、2.5 MeV 质子束产生的中子源, 在治疗过程中靶材放射性活度累积最大值约为 $1.44 \times 10^{13} \text{ Bq}$ 。

关键词: 硼中子俘获治疗; 中子靶; 中子产额; 能量沉积; 放射性活度

中图分类号: TL329

文献标志码: A

文章编号: 1000-6931(2020)05-0804-07

doi: 10.7538/yzk.2019.youxian.0580

Analysis of Physical Design for AB-BNCT Neutron Target

LIN Zuokang¹, YANG Pu^{1,2,*}, ZHAO Qiankun¹, SHEN Miao¹, HE Zifeng^{1,*}

(1. Shanghai Institute of Applied Physics, Chinese Academy of Sciences, Shanghai 201800, China;

2. University of Chinese Academy of Sciences, Beijing 100049, China)

Abstract: Proton accelerator is an appropriate device for providing neutron source for accelerator-based boron neutron capture therapy (AB-BNCT). The intensity and the spectrum of proton accelerator driven neutron source are more adjustable than reactor neutron source. The physical analysis of neutron target is the premise for an accelerator neutron source design, and it gives requirements of the accelerator parameters, like proton energy and beam current. Besides, it also provides parameters for structural design of neutron target and assembles for shaping and shielding. In this paper, Monte Carlo program MCNPX was used. After analyzing neutron yield, neutron spectrum, energy deposition, radioactivity of the target and neutron emitting angle distribution, an optimized design proposal for the AB-BNCT neutron source was presented as 2.5 MeV proton beam bombarding with lithium target of 100 μm to 200 μm thickness. The neutron

收稿日期: 2019-07-30; 修回日期: 2019-09-25

基金项目: 中国科学院上海应用物理研究所育新计划资助项目(Y955071031); 中国科学院上海应用物理研究所重大发展专项资助项目(Y951011031)

作者简介: 林作康(1984—), 男, 福建霞浦人, 副研究员, 博士, 核技术及应用专业

* 通信作者: 杨璞, E-mail: yangpu@sinap.ac.cn; 何子锋, E-mail: hezifeng@sinap.ac.cn

网络出版时间: 2020-04-13; 网络出版地址: <http://kns.cnki.net/kcms/detail/11.2044.TL.20200410.2000.004.html>

source is designed with an intensity of $9.74 \times 10^{11} \text{ s}^{-1}$ from per 1 mA incident proton. And the current of the proton beam is suggested as 15 mA, which will accumulate a radioactivity of the target material within $1.44 \times 10^{13} \text{ Bq}$.

Key words: BNCT; neutron target; neutron yield; energy deposition; radioactivity

硼中子俘获疗法(BNCT)在难以用其他方式治疗的恶性肿瘤(如脑胶质瘤)上,有令人期待的应用前景^[1-3]。随着加速器技术的发展,BNCT从利用反应堆中子源的研究模式,向基于加速器驱动中子源的硼中子俘获治疗(AB-BNCT)应用模式发展^[4-5]。基于质子加速器驱动中子源的硼中子俘获治疗经济性良好、易于大范围推广;其最大的优势在于,可广泛建造于人口密度稠密的医院^[6];其中子源以安全性高、公众接受度高、成本相对较低、慢化处理简单等特点,将推动 AB-BNCT 成为未来最具有应用潜力的癌症治疗方式之一^[7-8]。目前,中国科学院上海应用物理研究所研究团队正利用 Dynamitron 加速器技术,研发 AB-BNCT 中子源。

利用于 AB-BNCT 加速器中子源产生中子的反应,主要包括(p,n)反应和(d,n)反应^[9-11]。(p,n)反应产生的中子能量较(d,n)反应产生的中子能量低,更适用于慢化成为治疗深座肿瘤所需要的理想超热中子^[12-13]。国际上利用(p,n)反应的 AB-BNCT 研究,基本围绕在⁷Li和⁹Be这两种靶材^[14-15]。本研究针对利用(p,n)反应的中子靶,开展详细的物理设计分析,从而形成 AB-BNCT 中子靶设计方案。通过中子靶材对比分析、靶体厚度设计分析及治疗过程打靶产生的放射性活度累积计算等,为中子源靶材选择提供参考,并为质子加速器能量、流强等基本参数提供设计依据,同时也为中子靶热工、中子引出慢化及中子靶辐射屏蔽等研究提供前端输入参数。

1 计算模型和方法

1.1 质子打靶模型

质子打靶模型如图 1 所示,质子束以 5 cm 半径均匀入射到半径 6 cm 的靶体上,靶厚为 50~200 μm 。靶体材料主要考虑锂和铍。

表 1 为锂靶和铍靶的基本物性参数。可看出,铍靶材料的熔点、沸点、热导率等热物性参数较锂靶高。作为中子靶材,低能质子入射后,会在

靶体前端形成很高的能量沉积,因此靶体散热问题是个难点。从热物性上考虑,铍靶优于锂靶;但从产生中子的性能上考虑,锂靶则优于铍靶。

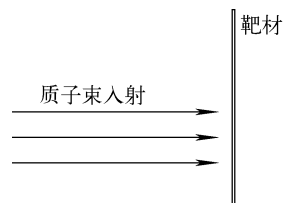


图 1 质子打靶模型

Fig. 1 Model of proton bombarding with target

表 1 锂和铍的物性参数

Table 1 Property parameter of Li and Be

参数	数值	
	铍	锂
丰度	100% ⁹ Be	7.5% ⁶ Li, 92.5% ⁷ Li
密度, g/cm ³	1.850	0.534
熔点, °C	1287	180
沸点, °C	2469	1342
摩尔比热, J/(mol·K)	16	25
热导率, W/(m·K)	216	85
线性热胀率, $\mu\text{m}/(\text{m}\cdot\text{K})$	11	46
杨氏模量, GPa	287	5
剪切模量, GPa	132	4
毒性	剧毒	无
化学性质	稳定	活泼

1.2 分析方法

AB-BNCT 中子束主要考虑超热能段 0.5 eV~10 keV 的中子^[16],因此,其中子源一般考虑采用能量较低的质子,这样(p,n)反应产生的中子能量较低,避免中子能量过高难以慢化,同时降低装置结构材料的活化风险。研究中采用通用蒙特卡罗程序 MCNPX 进行质子打靶的输运过程模拟。MCNPX 是由美国洛斯阿拉莫斯国家实验室开发的蒙特卡罗程序,能模拟 34 种不同类型粒子(核子和离子)和 2000 种以上重离子的粒子相互作用。对于高

能核子输运计算, MCNPX 拥有多种模型可供选择; 对于能量在 20 MeV 以下的中子输运计算, MCNPX 通过调用评价核数据库进行模拟。MCNPX 模拟质子打靶, 可获得其产生中子的产额、能谱、靶体的能量沉积等多项计算结果。本研究模型跟踪 1×10^9 个源粒子输运径迹统计, 整个过程数据统计误差基本在 5% 以内。

2 计算结果及分析

2.1 中子靶材分析

1) 入射质子能量与中子产额

图 2 为 ^3H 、 ^7Li 、 ^9Be 、 ^{65}Cu 、 ^{184}W 5 种靶材的

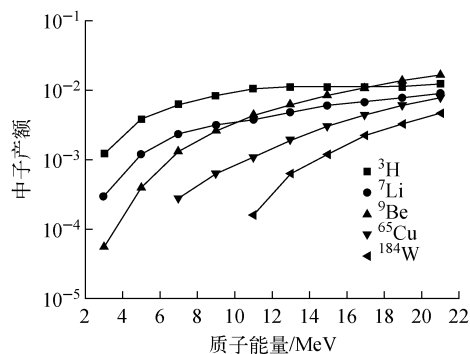


图 2 质子打厚靶产额

Fig. 2 Neutron yield of proton bombarding with target

质子打靶产额, 可确定低能质子入射情况下, 轻核靶材产生的中子数大于重核靶材。因此, 利用 (p, n) 反应的 AB-BNCT 质子加速器中子源, 一般选用核子数较小的轻核靶材。

入射质子能量在 17 MeV 以下, 对比 ^3H 、 ^7Li 、 ^9Be 3 种轻核靶材核素的中子产额可知, ^3H 靶的中子产额最大, 但 ^3H 靶昂贵且会衰变, 并不适合作为 BNCT 中子源靶材。10 MeV 以上的质子入射铍靶, 除 $^9\text{Be}(p, n)^9\text{B}$ 反应产生中子外, 还有其他多体分裂反应产生中子的贡献, 因此铍靶中子产额超过锂靶。入射质子能量在 10 MeV 以下时, 锂靶的中子产额大于铍靶。

3.5 MeV 以下质子打锂靶和铍靶产生中子的具体数据列于表 2。 ^7Li 的 (p, n) 反应阈能为 1.88 MeV; 若入射质子能量低于 1.9 MeV, 反应产生中子的平均能量和最高能量较低, 接近适合 BNCT 的超热中子能量范围, 但其中子产额相对较低。在入射质子能量 2.25 MeV 处, ^7Li 的 (p, n) 截面有 1 个峰; 越过此能量, 设计 2.5 MeV 的入射质子, 其中子产额较 1.9 MeV 入射质子高 2 个量级, 产生的中子平均能量增大大约 300 keV; 之后提升入射质子能量, 中子产额增速变缓, 而中子平均能量和最高能量增大较多。因此, 锂靶的入射质子能量建议设计为 2.5 MeV。

表 2 质子打锂靶/铍靶数据对比

Table 2 Data comparison of proton bombarding with ^7Li and ^9Be

质子能量/ MeV	中子产额		平均能量/keV		最高能量/keV	
	^7Li	^9Be	^7Li	^9Be	^7Li	^9Be
1.9	1.864×10^{-6}	0	36	0	78	0
2.3	1.121×10^{-4}	2.520×10^{-6}	235	235	566	573
2.5	1.727×10^{-4}	9.400×10^{-6}	330	298	773	580
2.8	2.487×10^{-4}	3.670×10^{-5}	439	434	1 080	853
3.0	3.002×10^{-4}	5.540×10^{-5}	513	503	1 290	1 050
3.5	4.470×10^{-4}	1.107×10^{-4}	723	704	1 800	1 590

2.5 MeV 质子打铍靶的中子产额约为锂靶产额的 1/18。铍靶需提高入射质子能量来弥补中子产额, 但会产生更多能量较高的中子。这样会使加速器成本增加, 导致慢化困难和部件活化风险增大。

2) 中子能谱

理想的 BNCT 中子能量约为 0.5 eV ~ 10 keV, 质子打靶产生的中子需经过慢化才能用

于治疗。因此, 打靶产生的中子能谱对于 BNCT 中子源设计很关键, 它关系到引出中子束实现慢化整形的难度和治疗效果。质子打锂靶与铍靶的中子能谱示于图 3。铍靶的入射质子能量为 3.5 MeV, 锂靶的入射质子能量为 2.5 MeV。铍靶产生的快中子能量最高达到 1.5 MeV, 中子平均能量较高; 锂靶产生中子能量最高不到 0.8 MeV, 中子平均能量低, 慢化相对容易。

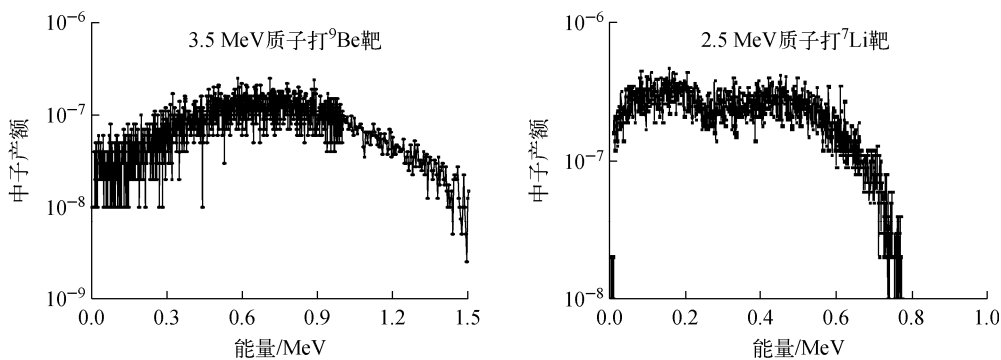


图3 3.5 MeV 质子打⁹Be和 2.5 MeV 质子打⁷Li的中子能谱

Fig. 3 Neutron spectra of 3.5 MeV proton bombarding with ⁹Be target and 2.5 MeV proton with ⁷Li target

3) 打靶后靶材衰变

从质子打靶后靶材的衰变情况分析, 质子打⁹Be产生⁹B,⁹B会衰变为α粒子和氦核(或质子); 而质子打⁷Li产生⁷Be,⁷Be经β衰变, 成为第一激发态⁷Li, 再释放γ, 会重新回到⁷Li基态。可见, 打靶后经衰变, 铍靶材质会逐渐消耗; 锂靶在材质足够循环回复的情况下, 基本不会消耗。

4) 锂化合物靶材分析

由于锂的熔点较低, 作为靶材保持其固体形态实现散热的难度较大。因此, 考虑分析锂化合物替代锂靶的可行性, 结果列于表3。由表3可知, 氟化锂和氧化锂靶材中子产额较锂靶低, 中子平均能量相近。

表3 2.5 MeV 质子打锂/氟化锂/氧化锂的对比

Table 3 Comparison of 2.5 MeV proton bombarding with pure Li/LiF/Li₂O

靶材料	密度/ (g·cm ⁻³)	熔点/ ℃	中子产额	平均能量/ keV
纯锂	0.534	180	1.727×10 ⁻⁴	330
氟化锂	2.635	848	4.780×10 ⁻⁵	338
氧化锂	2.013	1567	7.789×10 ⁻⁵	314

对比锂、氟化锂、氧化锂靶材的中子产额可知, 锂是首选靶材。AB-BNCT 中子源设计中, 建议选择锂靶。拟选质子轰击锂靶, 1 mA 流强、2.5 MeV 质子打靶, 可获得中子源强为 9.74×10¹¹ s⁻¹。

5) 锂靶成分对中子产额的影响

表4列出了不同锂靶成分的中子产额。天然丰度的锂靶相对纯⁷Li靶, 其中子产额减小

6.4%。含Na、K杂质2%的青海盐湖电解锂产品, 其中子产额较天然纯锂靶减少3.6%。

表4 锂靶成分的影响比较

Table 4 Comparison of different ingredients of lithium

锂靶成分	中子产额	平均能量/ keV
100% ⁷ Li	1.727×10 ⁻⁴	330
95% ⁷ Li+5% ⁶ Li	1.629×10 ⁻⁴	330
92.5% ⁷ Li+7.5% ⁶ Li 天然纯锂	1.617×10 ⁻⁴	330
含2%Na、K杂质锂产品	1.559×10 ⁻⁴	330

为确保最大化中子产额, 建议对锂靶材料进行提纯, 并在条件允许和经济性前提下, 进行同位素分离, 尽量增大⁷Li丰度。

2.2 靶材厚度设计分析

1) 打靶能量沉积分布

质子入射锂靶时, (p, n) 反应截面虽相对于其他核素较大, 但发生反应的比例依然很小。绝大部分质子滞留在靶材中。图4为质子入射锂靶的能量沉积轴向及径向分布。由图4a可看出, 以2.5 MeV 质子打锂靶, 其能量沉积绝大部分位于入射端0~200 μm 范围内。在0~150 μm 之间靶体的能量沉积相对均匀; 布拉格峰位于150~200 μm 之间, 该区间沉积了入射质子一半以上的能量。距入射靶端250 μm 后的区间, 几乎没有入射质子的能量沉积。由图4b可见, 在布拉格峰区间(轴向150~200 μm), 半径5 cm 入射的质子, 其靶体径向能量沉积较为均匀, 半径6 cm 以外空间的占比很小, 不到1%。

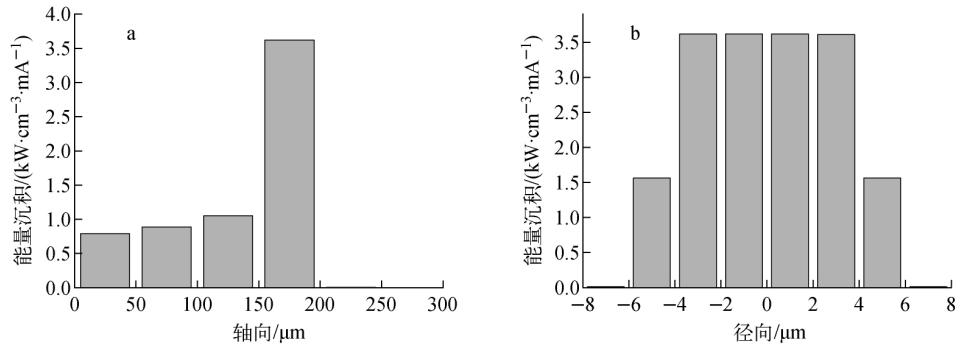


图4 2.5 MeV 质子打锂靶轴向及径向能量沉积

Fig. 4 Energy deposition on Z axis and R axis by 2.5 MeV proton bombarding with Li target

2) 靶材厚度对 neutron 产额的影响

归一到单个质子轰击不同厚度靶材的 neutron 产额如下: 50 μm , 9.748×10^{-5} ; 100 μm , 1.558×10^{-4} ; 150 μm , 1.559×10^{-4} ; 200 μm , 1.559×10^{-4} 。可见, 靶材厚度达 100 μm 后, neutron 产额基本达到最大化。

通过靶体能量沉积和靶材厚度对 neutron 产额影响的分析, 建议在固态靶设计中, 锂靶厚度设计为 100 μm ; 该尺寸下 neutron 产额已最大化, 而大部分入射质子的能量则可沉积在传热端铜座上, 利于散热。在液态靶设计中, 则应考虑锂靶液膜厚度大于 200 μm , 这样锂靶液膜可包络绝大部分入射质子能量, 通过循环回路带走这些热量。

2.3 质子打靶放射性活度

BNCT 中, 放射性核素的核子变化数 dN (mA^{-1}) 为产生项 dN_g 及衰变项 dN_d 之和:

$$dN = dN_g + dN_d \quad (1)$$

$$dN_g = v dt \quad (2)$$

其中, v 为由质子打靶产生放射性核素的速率, ($\text{s} \cdot \text{mA}$) $^{-1}$ 。

$$\frac{dN}{dt} = \frac{dN_g}{dt} + \frac{dN_d}{dt} = v - \lambda N \quad (3)$$

其中, λ 为核素衰变常量, s^{-1} 。

整理式(3)可得:

$$\frac{dN}{v/\lambda - N} = \lambda dt \quad (4)$$

式(4)两边积分, 并代入 $t=0$ 时刻核子数为 0 的条件, 整理可得下式:

$$N = \frac{v}{\lambda} - \exp\left(\ln \frac{v}{\lambda} - \lambda t\right) \quad (5)$$

因此, 单位流强质子打靶产生的放射性活度 A (Bq) 为:

$$A = \lambda N = v - \lambda \exp\left(\ln \frac{v}{\lambda} - \lambda t\right) \quad (6)$$

基于 MCNPX 计算获得放射性核素产生速率, 利用 Matlab 平台求解在 AB-BNCT 中靶体的放射性活度变化。质子打天然锂靶产生的放射性核素为 ^7Be 和 ^3H 。MCNPX 输出归一到单个入射质子的放射性核素产额, 转换为每 mA 入射质子打天然锂靶的放射性核素产生速率, 列于表 5。

表5 2.5 MeV 质子打天然锂靶产生的放射性核素
Table 5 Radioactive element produced by 2.5 MeV proton bombarding with natural lithium target

核素	$v/(\text{s} \cdot \text{mA})^{-1}$	$T_{1/2}$	λ/s^{-1}
^7Be	9.75×10^{11}	53.22 d	1.5074×10^{-7}
^3H	6.25×10^8	12.33 a	1.7826×10^{-9}

计算 AB-BNCT 不间断运行 5 a, 每 mA 的 2.5 MeV 质子打天然锂靶, 所累积引起的 neutron 靶放射性活度如图 5 所示。由图 5 可见, 质子

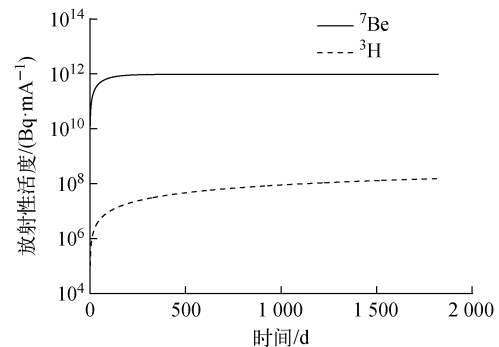


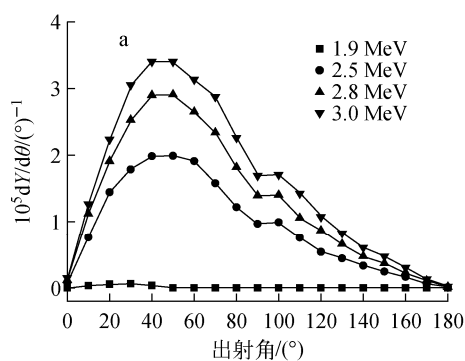
图5 单位流强 2.5 MeV 质子打天然锂靶的放射性活度
Fig. 5 Radioactivity of 2.5 MeV proton bombarding with natural lithium target

打锂靶产氚导致的放射性活度较(p, n)反应生成⁷Be的放射性活度小4个量级。在不间断运行约1 a后,锂靶中的⁷Be放射性活度接近平衡态。总体而言,单位流强2.5 MeV质子入射锂靶产生的放射性活度约为 9.6×10^{11} Bq;随入射质子流强的增大,中子靶放射性活度线性增加。

2.4 中子出射角分布

考虑将质子打靶产生的中子引出进行慢化,需了解打靶产生中子的出射角分布情况。在MCNPX中子靶模型中,以中子靶出射端中点为球心设置球面,质子入射方向为正方向,对球面进行等角 θ 划分(图6),可获得中子出射空间弧度角($dY/d\theta$)分布(图7a)。将弧度角分布数据(θ 所对应球面曲面的粒子计数)转换为立体角分布数据(单位立体角对应球面的粒子计数),两者关系为:

$$\frac{dY}{d\theta} = 2\pi \sin \theta \frac{dY}{d\Omega} \quad (7)$$



从而获得更为直观的中子出射空间立体角($dY/d\Omega$)分布(图7b)。由图7b可见,质子轰击靶体产生中子,其中子出射具有前倾性,20°出射角以内的中子密度最高,大于90°出射角中子占比小于总中子数的1/5;且不同能量入射质子,中子出射前倾性质基本相似。因此,建议AB-BNCT中子源设计,沿质子入射方向引出中子进行慢化。

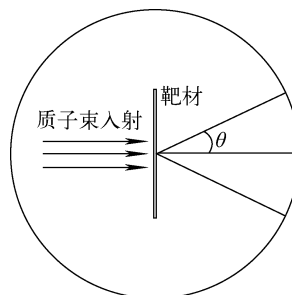


图6 质子打锂靶中子出射角示意图
Fig. 6 Diagram of emitting angle of spallation neutron

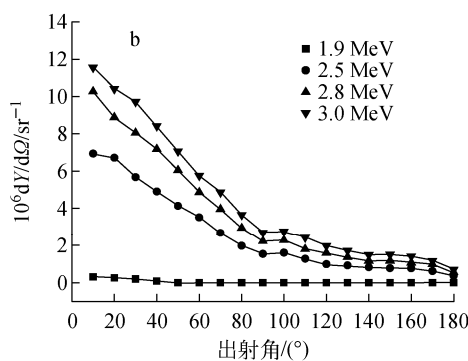


图7 质子打锂靶中子出射空间弧度角和立体角分布
Fig. 7 $dY/d\theta$ and $dY/d\Omega$ as a function of emitting angle

3 结论

由前文分析可得,目前所设计AB-BNCT中子源拟选方案为2.5 MeV质子加速器,输出质子轰击锂靶,1 mA流强的2.5 MeV质子打靶产生的中子源强为 $9.74 \times 10^{11} \text{ s}^{-1}$ 。入射质子束半径为5 cm,固态锂靶设计厚度为100 μm ,液态锂靶设计液膜厚度大于200 μm 。拟设计质子束流强为15 mA,可产生强度为 $1.46 \times 10^{13} \text{ s}^{-1}$ 的中子源;治疗过程中,中子靶放射性活度最大值约为 1.44×10^{13} Bq。基于出射中子的前倾性,建议沿质子入射方向引出

中子进行慢化。

参考文献:

[1] BERGUEIRO J, IGARZABAL M, SANDIN J C S, et al. Development of high intensity ion sources for a tandem-electrostatic-quadrupole facility for accelerator-based boron neutron capture therapy[J]. Applied Radiation and Isotopes, 2011, 69(12): 1 676-1 679.

[2] ZONTA A, ALTIERI S, ROVEDA L, et al. BNCT: A new option against cancer[J]. Applied Radiation and Isotopes, 2008, 67(7-8): 1-10.

- [3] 李长楷,马英杰,汤晓斌,等. 基于加速器 ${}^7\text{Li}(p, n)$ 反应的硼中子俘获治疗中子源的优化设计[J]. 核技术, 2013, 36(9): 090203.
LI Changkai, MA Yingjie, TANG Xiaobin, et al. Research of accelerator-based neutron source for boron neutron capture therapy[J]. Nuclear Techniques, 2013, 36(9): 090203(in Chinese).
- [4] BLUE T E, YANCH J C. Accelerator-based epithermal neutron sources for boron neutron capture therapy of brain tumors[J]. Journal of Neuro-Oncology, 2003, 62(1-2): 19-31.
- [5] GREEN S. Developments in accelerator based boron neutron capture therapy[J]. Radiation Physics and Chemistry, 1998, 51(4-6): 561-569.
- [6] BAYANOV B F, BELOV V P, BENDER E D, et al. Accelerator-based neutron source for the neutron-capture and fast neutron therapy at hospital[J]. Nuclear Instruments and Methods in Physics Research A, 1998, 413(2-3): 397-426.
- [7] ALEYNIK V, BURDAKOV A, DAVYDENKO V, et al. BINP accelerator based epithermal neutron source[J]. Applied Radiation and Isotopes, 2011, 69: 1 635-1 638.
- [8] ALLEN D A, BEYNON T D. A design study for an accelerator-based epithermal neutron beam for BNCT[J]. Physics in Medicine and Biology, 1995, 40(5): 807-821.
- [9] BURLON A A, KREINER A J, VALDA A A, et al. Optimization of a neutron production target and a beam shaping assembly based on the ${}^7\text{Li}(p, n){}^7\text{Be}$ reaction for BNCT[J]. Nuclear Instruments and Methods in Physics Research B, 2005, 229(1): 144-156.
- [10] BURLON A A, del ROLDÁN T V, KREINER A J, et al. Nuclear reactions induced by deuterons and their applicability to skin tumor treatment through BNCT[J]. Nuclear Instruments and Methods in Physics Research B, 2008, 266(22): 4 903-4 910.
- [11] CAPOULAT M E, MINSKY D M, KREINER A J. Applicability of the $\text{Be-9}(d, n)\text{B-10}$ reaction to AB-BNCT skin and deep tumor treatment[J]. Applied Radiation and Isotopes, 2011, 69: 1 684-1 687.
- [12] COLONNA N, BEAULIEU L, PHAIR L, et al. Measurements of low-energy (d, n) reactions for BNCT[J]. Medical Physics, 1999, 26(5): 793-798.
- [13] LEE C L, ZHOU X L. Thick target neutron yields for the ${}^7\text{Li}(p, n){}^7\text{Be}$ reaction near threshold[J]. Nuclear Instruments and Methods in Physics Research, 1999, 152(1): 1-11.
- [14] FRIEDMAN M, COHEN D, PAUL M, et al. Simulation of the neutron spectrum from the ${}^7\text{Li}(p, n)$ reaction with a liquid-lithium target at Soreq Applied Research Accelerator Facility[J]. Nuclear Instruments and Methods in Physics Research A, 2013, 698: 117-126.
- [15] ESPOSITO J, COLAUTTI P, FABRITSIEV S, et al. Be target development for the accelerator-based SPES-BNCT facility at INFN Legnaro[J]. Applied Radiation and Isotopes, 2009, 67(7-8): 270-273.
- [16] BLEUEL D L, DONAHUE R J, LUDEWIGT B A, et al. Designing accelerator-based epithermal neutron beams for boron neutron capture therapy[J]. Medical Physics, 1998, 25(9): 1 725-1 734.